

с34ч.1ш

Б-Ч86

Бережнев С.Ф. и Неменов Л.Л.

2862/76



Б1-1-9887

ОБЪЕДИНЕННЫЙ ИНСТИТУТ ЯДЕРНЫХ ИССЛЕДОВАНИЙ

Б1-1-9887

ДЕПОНИРОВАННАЯ ПУБЛИКАЦИЯ

Дубна 1976

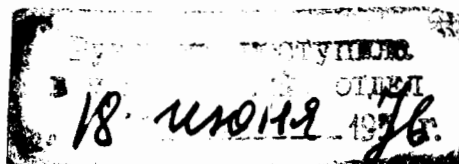
ОБЪЕДИНЕННЫЙ ИНСТИТУТ ЯДЕРНЫХ ИССЛЕДОВАНИЙ

С.Ф.Бережнев<sup>\*)</sup>, Л.Л.Неменов

С 244.1 ш  
Б-486

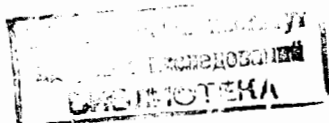
Б1-1-9887

СТАТИСТИЧЕСКОЕ РАЗДЕЛЕНИЕ ФОНА И ЭФФЕКТА В ЭКСПЕРИМЕНТЕ ПО ИЗУЧЕНИЮ РЕАКЦИИ ОБРАТНОГО ЭЛЕКТРОРОЖДЕНИЯ ПЛОННОВ.



г.Дубна, 1976 г.

\*) для НИИЯФ МГУ

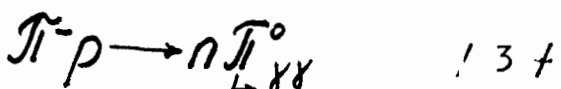
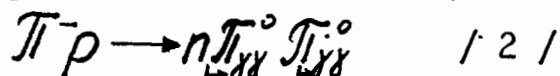


## I. Введение

Настоящая работа выполнена в связи с проводящимися в ЛЯПОИИ экспериментами по изучению процесса обратного электророждения пионов /ОЭП/



В работах /I, 2/ было показано, что индивидуальное разделение событий реакции ОЭП и событий фоновых реакций



связано с большими трудностями. Поэтому для получения дифференциальных распределений событий процесса ОЭП использовались статистические методы разделения каналов реакции, основанные на анализе всей совокупности зарегистрированных событий.

Установка для регистрации процесса /I/ представлена на рис. I. В описываемом эксперименте набор статистики осуществлялся в двух экспозициях, несколько отличавшихся друг от друга экспериментальными условиями. В соответствии с этим все события разбивались на две выборки. Для каждой выборки независимо проводилось статистическое разделение процесса ОЭП и фоновых процессов. Статистическое разделение проводилось двумя различными методами, называемыми далее методом подгонки и методом разбиения. Сущность первого из них, /метода подгонки/ заключается в том, что экспериментальное распределение по какой-либо переменной фитируется суммой двух теоретических: распределением событий процесса ОЭП и распределением событий фоновых процессов /2/ + /4/. В качестве переменной, по которой проводится статистическое разделение, была выбрана переменная

$M_x^2 / M_x$  - недостающая масса, вычисляемая по четырехимпульсам двух зарегистрированных частиц в гипотезе реакции / 1 //.

Анализ экспериментальных данных показал, что соотношение между числом событий реакции ОЭП и фоновых реакций в отобранный статистике сильно зависит от используемых критериев отбора по переменной  $\omega$  / эффективной массе двух зарегистрированных частиц / и по переменной A / наибольшей амплитуде импульса в сцинциационных счетчиках  $C_5$  и  $C_6$  /. Поэтому для проверки устойчивости процедуры разделения, а также для выбора оптимальных порогов по этим переменным, статистическое разделение методом подгонки проводилось независимо при различных порогах по  $\omega$  и A.

При статистическом разделении процессов ОЭП и фоновых процессов методом разбиения, число событий процесса ОЭП искалось как решение системы уравнений связывающей число событий зарегистрированных в эксперименте при различных логорах по A и  $\omega$  с вероятностью регистрации отдельного события.

## 2. АНАЛИЗ ФОНОВЫХ РЕАКЦИЙ.

Относительные вероятности регистрации процессов / 2 /, / 4 / моделировались с матричным элементом  $|M|^2=1$ , т.е. в гипотезе фазового объема. При вычислении относительной вероятности этих процессов использовались полные сечения приведенные в работах /3/ и /4/. Матричный элемент реакции /3/ вычислялся по программе /5,6/.

Таблица I.

процесс	полное сечение	Геометрическая Эффективность регистрации	относительная Эффективность регистрации
$n \pi^0 \pi^0$	0,27 мбн	0,1	I
$n \pi^0$	20 мбн	$< 10^{-6}$	$< 0,0007$
$n\gamma \pi^0$	0,26 мбн	0,02	0,2

На рис. 2 приведены распределения по квадрату недостающей массы для процессов /2/ + /4/. Площади под пиками соответствуют относительной вероятности этих процессов. Для сравнения на Рис.2 нанесено распределение по переменной  $M_x^2$  в реакции ОЭП.

Анализ результатов моделирования фоновых процессов /2/, /4/ позволяет сделать следующие выводы:

1. Основной вклад в зарегистрированные фоновые события дает реакция /2/, вероятность регистрации процесса /3/ пренебрежимо мала.
2. Распределения событий фоновых процессов /2/ и /4/ по кинематическим переменным имеют сходную форму.

Поэтому, при статическом разделении процессов ОЭП и фоновых процессов, суммарное теоретическое распределение событий реакций /2/ + /4/ по переменной  $M_x^2$  заменялось распределением полученным при моделировании фонового процесса /2/.

### 3. Моделирование распределений по недостающей массе.

Моделирование фоновых процессов проводилось по программе

PHON. Работа этой программы организована аналогично работе программы *SIMUL1* /7/, моделирующей процесс ОЭП. В этих программах одинаковым образом задается положение детекторов, их разрешающая способность, одинаково организована запись на магнитную ленту результатов счета.

В блоке розыгрыша события программы PHON розыгрывались координаты точки взаимодействия в мишени /2/ + /4/. Затем моделировалась регистрация события экспериментальной установкой. Для анализа отбирались только случаи удовлетворяющие критериям отбора описанным в /7/. При этом использовалась следующая модель события фонового процесса:

1. Образующаяся при конверсии гамма-квантов ( $e^+e^-$ ) - пара регистрируется искровой камерой как один электрон. Направление трека в искровой камере совпадает с направлением вылета гамма-кванта.

2. Если через боковой телескоп проходят два гамма-кванта, то регистрируется трек образованный только одним из них. Иными словами, вероятность того, что оба гамма-кванта конвертируют, считается малой.

3.  $\gamma$  -кванты и электроны регистрируются спектрометром одинаковым образом.

4. Энергия выделяемая в спектрометре равна сумме энергий гамма-квантов попавших в спектрометр.

5. Энергетические потери  $/e^+e^-$ / пары при происхождении через боковой телескоп -  $(dE/dx)_\gamma$  равны энергетическим потерям одиночного электрона -  $(dE/dx)_e$ .

В пользу последнего предположения говорит то обстоятельство, что искровые камеры, используемые в эксперименте, обладают довольно высокой эффективностью к регистрации двух треков от  $/e^+e^-$  - пары. Таким образом, значительная доля регистрируемых фоновых событий связана с ситуацией, когда энергия одного из электронов  $/e^+e^-$  - пары настолько мала, что до искровой камеры он не доходит. Кроме того, форма распределений по переменной  $M_x^2$  слабо зависит от величины энергетических потерь (Рис. 3).

Все измеряемые в эксперименте параметры события /энергии зарегистрированные в спектрометрах, углы треков в искровых камерах/ "размазываются" в соответствии с разрешающей способностью детекторов /7/. Если полученные в результате "размазки" параметры события удовлетворяют критериям отбора, применяемым при предварительной обработке событий процесса ОЭП, то "размазанные" параметры фитируются в гипотезе реакции /I/ и полная информация о событии включая параметры до "размазки", после "размазки" и после фита, записывается на магнитную ленту "фона".

В программе PHON по считываемым с ленты "фона" параметрам события реконструируются четырехимпульсы электронов, зарегистрированных боковыми телескопами установки, вводятся все критерии отбора применяемые при обработке событий процесса ОЭП. Для событий, удовлетворивших этим критериям, строятся распределения по  $M_x^2$  при различных порогах по  $\omega$ .

Точно также, по записанным на магнитную ленту "статистики" моделированным событиям процесса ОЭП /7/ вычисляются распределения по  $M_x^2$  и для реакции /I/.

#### 4. Учет взаимодействий в стенках мишени.

Распределения по переменной  $M_x^2$  событий генерированных на водороде.

Описанные в /8/ критерии позволяют выделить случаи обусловленные как процессами /I/ + /4/, так и фоновыми реакциями происходящими на стенках мишени. Для определения числа событий генерированных на водороде и их распределений по недостающей массе использовались результаты двух экспериментов с пустой мишенью. Условия в которых проводились эти эксперименты соответствуют условиям набора статистики в двух упомянутых выше экспозициях.

Число событий генерированных на водороде определялось по следующей формуле: \*)

$$^{(N)} N(\omega_0, A_0) = ^{(N)} N^{(0)}(\omega_0, A_0) - ^{(N)} N^{(t_0)}(\omega_0, A_0) \frac{^{(N)} I^{(0)}}{^{(N)} I^{(t_0)}}, \quad /I/$$

где  $^{(1)} N(\omega_0, A_0), ^{(2)} N(\omega_0, A_0)$  - оценка числа событий генерированных на водороде;

$^{(1)} N^{(0)}(\omega_0, A_0), ^{(2)} N^{(0)}(\omega_0, A_0)$  - число событий зарегистрированное в эксперименте с полной мишенью;

$^{(1)} N^{(t_0)}(\omega_0, A_0), ^{(2)} N^{(t_0)}(\omega_0, A_0)$  - число событий зарегистрированное в эксперименте с пустой мишенью;

$^{(1)} I^{(0)}, ^{(2)} I^{(0)}$  - поток пропущенный через мишень в эксперименте с полной мишенью;

$^{(1)} I^{(t_0)}, ^{(2)} I^{(t_0)}$  - поток пропущенный через мишень в эксперименте с пустой мишенью.

\*) Здесь и ниже, все величины записанные в виде функции параметров  $A_0$  и  $\omega_0$  вычисляются с использованием критериев отбора  $\omega \geq \omega_0$  и  $A \leq A_0$ .

Индекс  $\mu = 1,2$  слева вверху, здесь и ниже, обозначает номер экспозиции.

$$\frac{(1)}{(2)} \frac{I^{(0)}}{I^{(t_0)}} = \frac{(1)}{\lambda} = 12,0; \quad \frac{(1)}{(2)} \frac{I^{(0)}}{I^{(t_0)}} = \frac{(1)}{\lambda} = 4,43 \quad /2/$$

Результаты вычитания событий генерированных на стенках мишени при некоторых порогах по А и  $\omega$  приведены в таблице II. Используемый в этой таблице параметр А н.в. есть наиболее вероятное значение амплитуды сигнала сцинтилляционного счетчика при регистрации одного электрона.

Таблица II.

$A_0/A_{\text{н.в.}}$	$\omega_0 (\text{МэВ})$	$(1) N(\omega_0, A_0)$	$(1) \sqrt{N^{(t_0)}}(\omega_0, A_0)$	$(2) N(\omega_0, A_0)$	$(2) N^{(t_0)}(\omega_0, A_0)$
2,6	0	1312	144	664	58
2,6	200	886	108	439	44
2,6	220	751	60	374	31
2,6	240	611	60	341	22
2,6	260	489	60	291	18
2,2	0	1245	120	575	49
2,2	200	834	96	394	36
2,2	220	729	48	343	26
2,2	240	599	48	315	22
2,2	260	483	48	274	18
1,8	0	853	84	502	31
1,8	200	612	72	352	27
1,8	220	560	36	312	18
1,8	240	474	36	291	13
1,8	260	397	36	255	9

Видно, что наилучшее соотношение между числом событий генерированных на водороде и числом взаимодействий в стенках мишени достигается при пороге  $\omega_0 = 220$  МэВ.

При вычислении распределений событий, генерированных на водороде, по переменной  $M_x^2$ , вычитание случаев, обусловленных взаимодействиями в стенках мишени, проводилось в отдельности для каждого канала гистограммы,

Форма распределений по переменной  $M_x^2$  в двух экспериментах с пустой мишенью одинакова, отличия в экспериментальных условиях сказываются только в числе зарегистрированных случаев. Поэтому для  $i$ -го канала распределения по  $M_x^2$  в качестве оценки числа событий генерированных на стенках мишени использовалась величина

$$(M) n_i^{(t)}(\omega_0, A_0) = N^{(t)}(\omega_0, A_0) \frac{(1) n_i^{(t)}(\omega_0, A_0) + (2) n_i^{(t)}(\omega_0, A_0)}{(1) N^{(t)}(\omega_0, A_0) + (2) N^{(t)}(\omega_0, A_0)} / 3 /$$

где  $(M) n_i^{(t)}(\omega_0, A_0)$  - число случаев зарегистрированных в  $i$ -го канале гистограммы по  $M_x^2$  в эксперименте с пустой мишенью. Тогда оценка числа событий генерированных на водороде для канала гистограммы равна:

$$(M) n_i(\omega_0, A_0) = n_i^{(0)}(\omega_0, A_0) \cdot n_i^{(t)}(\omega_0, A_0) / 14 /$$

Здесь  $(M) n_i^{(0)}(\omega_0, A_0)$  - число событий в  $i$ -ом канале гистограммы по  $M_x^2$  в эксперименте с полной мишенью.

На рис. 4,5 приведены распределения событий генерированных на водороде по переменной  $M_x$  при различных порогах по  $\omega$  и при пороге по  $A - A_0 = 2,2A_{H.B.}$ . Заштрихованная гистограмма - распределение событий генерированных на стенках мишени.

## 5. Определение числа событий процесса ОЭП методом подгонки.

При определении числа событий процесса ОЭП методом подгонки распределение событий генерированных на водороде по переменной  $M_x^2$  аппроксимировалось суммой теоретических распределений для процессов /1/ и /2/. Форма теоретических распределений вычислялась методом Монте-Карло, так как это было написано в § 3. Площади этих распределений, т.е. оценка числа событий процесса ОЭП и числа событий фона определялись из условия минимума квадратичного функционала:

$$\chi^2 = \sum_i \frac{(^{(N)}n_i(\omega_0, A_0) - (^{(N)}N_\theta(\omega_0, A_0)P_i^{(1)}(\omega_0) - (^{(N)}N_\varphi(\omega_0, A_0)P_i^{(2)}(\omega_0))}{G^2(1,2) n_i(\omega_0, A_0)} \quad /5/$$

Здесь  $^{(1)}N_\theta(\omega_0, A_0)$ ,  $^{(2)}N_\varphi(\omega_0, A_0)$  - число событий процесса ОЭП (эффекта);  $^{(1)}N_\varphi(\omega_0, A_0)$ ,  $^{(2)}N_\varphi(\omega_0, A_0)$  - число событий фона;  $^{(1)}P_i^{(1)}(\omega_0)$ ,  $^{(2)}P_i^{(2)}(\omega_0)$  - плотности распределения по  $M_x^2$  для процессов /1/ и /2/. Суммирование в формуле /5/ проводится по всем каналам гистограммы по  $M_x^2$ .

В таблице III представлены оценки числа событий эффекта и фона для некоторых значений порогов  $\omega$  и  $A_0$ .

Видно, что результаты моделирования позволяют хорошо описать экспериментальные распределения по переменной  $M_x^2$ .

По оценкам  $^{(N)}N_\theta(\omega_0, A_0)$  и  $^{(N)}N_\varphi(\omega_0, A_0)$  найденным для различных значений параметров  $\omega$  и  $A_0$ , вычислялись как  $^{(N)}N_\theta^{(t)}$  - оценки полного числа событий эффекта:

$$^{(N)}N_\theta^{(t)} = \frac{^{(N)}N_\theta(\omega_0, A_0)}{\left(1 - P_\omega^{(1)}(\omega_0)\right)\left(1 - P_\varphi^{(2)}(A_0)\right)}, \quad /6/$$

Таблица III.

$\frac{A_0}{A_{\text{н.в.}}}$	$\omega_0$ ( $M_3B$ )	$(1) N_s(\omega_0, A_0)$	$(2) N_\varphi(\omega_0, A_0)$	$\chi^2$	$(1) N_s(\omega, A_0)$	$(2) N_\varphi(\omega, A_0)$	$\chi^2$	$m$
2,6	0	523 $\pm$ 34	855 $\pm$ 47	14,0	273 $\pm$ 22	383 $\pm$ 27	20,7	I4
	200	539 $\pm$ 35	368 $\pm$ 37	14,2	284 $\pm$ 22	152 $\pm$ 22	15,9	I2
	220	527 $\pm$ 35	234 $\pm$ 30	10,5	286 $\pm$ 23	86 $\pm$ 18	12,1	II
	240	490 $\pm$ 36	137 $\pm$ 27	9,3	268 $\pm$ 23	67 $\pm$ 16	10,0	9
	260	412 $\pm$ 36	99 $\pm$ 25	7,3	244 $\pm$ 22	43 $\pm$ 16	9,3	8
2,2	0	516 $\pm$ 32	673 $\pm$ 38	16,6	262 $\pm$ 21	314 $\pm$ 24	21,3	I4
	200	531 $\pm$ 33	273 $\pm$ 29	22,9	272 $\pm$ 21	124 $\pm$ 18	15,9	I2
	220	515 $\pm$ 33	186 $\pm$ 26	9,1	278 $\pm$ 21	61 $\pm$ 15	12,2	II
	240	485 $\pm$ 33	100 $\pm$ 25	9,1	258 $\pm$ 22	54 $\pm$ 16	9,9	9
	260	408 $\pm$ 33	77 $\pm$ 23	7,0	234 $\pm$ 22	38 $\pm$ 15	10,0	8
I,8	0	458 $\pm$ 28	442 $\pm$ 31	17,1	249 $\pm$ 19	249 $\pm$ 20	20,7	I4
	200	471 $\pm$ 29	172 $\pm$ 23	21,3	258 $\pm$ 20	95 $\pm$ 16	14,5	I2
	220	458 $\pm$ 29	113 $\pm$ 23	9,8	266 $\pm$ 20	37 $\pm$ 12	11,5	II
	240	426 $\pm$ 30	63 $\pm$ 22	9,0	246 $\pm$ 20	41 $\pm$ 14	7,7	9
	260	360 $\pm$ 29	55 $\pm$ 20	6,6	221 $\pm$ 20	29 $\pm$ 14	7,6	8

$m$  - число степеней свободы.

так и  $\overset{(M)}{N}_\varphi^{(t)}(A_0)$  — оценки полного числа событий фона удовлетворяющих критерию отбора  $A \leq A_0^*$ ):

$$\overset{(M)}{N}_\varphi^{(t)}(A_0) = \frac{\overset{(M)}{N}_\varphi(\omega_0, A_0)}{(1 - \overset{(M)}{P}_\omega^{(\Phi)}(\omega_0))} \quad /7/$$

В формулах /6/ и /7/ используются следующие обозначения:

$\overset{(M)}{P}_\omega^{(\Phi)}(\omega_0)$	— доля событий фона, отбрасываемая условием $\omega \geq \omega_0$
$\overset{(M)}{P}_\omega^{(g)}(\omega_0)$	— " — эффе́кта — " — — " —
$P_A^{(g)}(A_0)$	— " — .. " — — " — $A \leq A_0$ .

В таблице IУ представлены для некоторых значений параметра  $\omega_0$  величины  $\overset{(M)}{P}_\omega^{(g)}(\omega_0)$  и  $\overset{(M)}{P}_\omega^{(\Phi)}(\omega_0)$ , вычисленные при моделировании процесса ОЭП и фонового процесса /2/.

Таблица IУ.

$\omega_0(M_eV)$	200	220	240	260
$\overset{(1)}{P}_\omega^{(g)}(\omega_0)$	0,013	0,055	0,141	0,262
$\overset{(2)}{P}_\omega^{(g)}(\omega_0)$	0,02	0,062	0,141	0,260
$\overset{(1)}{P}_\omega^{(\Phi)}(\omega_0)$	0,487	0,657	0,789	0,880
$\overset{(2)}{P}_\omega^{(\Phi)}(\omega_0)$	0,494	0,662	0,784	0,876

Доля событий эффе́кта, отбрасываемая условием  $A \leq A_0$  определялась по результатам калибровочных измерений на электронном пучке.

---

\* ) Так как распределение фоновых событий по переменной  $A$  незвестно, то нельзя определить какую долю событий фона отбрасывает критерий отбора  $A \leq A_0$ .

Таблица У.

$\lambda_0/\lambda_{\text{н.в.}}$	2,6	2,4	2,2	2,0	1,8
$P_E(\lambda_0)$	0,98	0,948	0,919	0,880	0,834

В таблице УI приведены оценки полного числа событий эффекта и фона.

Следует отметить, что как и объем анализируемой выборки  $(N) N(\omega_0, \lambda_0)$ , так и число событий фона в этой выборке очень сильно зависит от параметра  $\omega$  (таблицы II и III). Поэтому оценки  $(N) N_F(\omega_0, \lambda_0)$ , полученные при различных значениях параметра  $\omega$ , слабо коррелированы. Их хорошее согласие можно рассматривать как подтверждение правильности выбора модели фонового процесса. В качестве окончательных критерии отбора были выбраны критерии

$$\omega \geq 220 \text{ МэВ}$$

$$\text{и } \lambda \leq 2,2 \text{ А.н.в.}$$

/ 8 /

обеспечивающие наилучшее соотношение между числом событий эффекта и фона в анализируемой выборке. Этим критериям соответствуют оценки (таблица III):

$$(1) \quad N_F(\omega_0, \lambda_0) \quad = 515 \pm 33 \\ \text{и} \quad \omega_0 = 220 \text{ МэВ} \\ \lambda_0 = 2,2 \text{ А.н.в.}$$

$$(2) \quad N_F(\omega_0, \lambda_0) \quad = 278 \pm 21 \\ \text{и} \quad \omega_0 = 220 \text{ МэВ} \\ \lambda_0 = 2,2 \text{ А.н.в.}$$

Таблица VI.

$R_0/H_{\text{Н.В.}}$	$\omega_0$ ( $M_{\odot}B$ )	(1) $N_3^{(t)}$	(2) $N_{\varphi}^{(t)}(A_0)$	(3) $N_3^{(t)}$	(4) $N_{\varphi}^{(t)}(R_0)$
2,6	0	534±36	855±47	279±22	383±27
	200	557±37	719±72	297±24	301±43
	220	569±38	682±87	311±25	254±53
	240	583±43	650±127	319±27	310±74
	260	569±50	825±208	336±31	346±128
2,2	0	561±36	673±38	285±23	314±24
	200	586±38	534±57	302±24	245±37
	220	594±39	544±76	322±25	181±44
	240	614±43	475±118	327±28	255±74
	260	602±50	642±192	344±33	303±120
1,8	0	549±37	442±31	299±24	249±20
	200	572±38	336±45	316±25	188±38
	220	582±39	326±67	341±26	109±36
	240	594±44	298±104	343±26	190±65
	260	585±50	459±157	358±34	234±112

Систематические ошибки в этих оценках обусловлены как неопределенностью в величине разрешающей способности спектрометров -  $\sigma_{cl}$ , так и неопределенностью в величине энергетических потерь  $\gamma$  - кванта на пути в спектрометр -  $(dE/dx)\gamma$ . Оба этих фактора могут исказить форму распределений по переменной  $M_x^2$  и тем самым вызвать смещение оценок. Для определения величины возможных систематических ошибок сравнивались оценки  $N_3(\omega_0, A_0)$  найденные методом подгонки с использованием распределений по переменной  $M_x^2$  вычисленных при различных значениях параметров  $\sigma_{cl} \text{ и } (dE/dx)\gamma$ .

В таблице УІІ приведены оценки систематических ошибок в определении числа событий эффекта при  $\omega = 220$  МэВ и  $A_0 = 2,24\text{н.в.}$

Таблица УІІ

Фактор вызывающий ошибку	Экспозиция	I	II
Неопределенность в разрешении спектрометра		$\pm 16$	$\pm 10$
Неопределенность в величине энергетических потерь		$< -5$	$< -3$

Видно, что возможные систематические ошибки малы по сравнению со статистической ошибкой.

\*)

Используемая процедура моделирования с записью на магнитную ленту промежуточных результатов позволяет вычислять распределения по переменной  $M_x^2$  для изменившихся условий регистрации, не проводя заново розыгрыш реакции /1/ и /2/.

## 6. Определение числа событий реакции ОЭП методом разбиения.

При статистическом разделении фона и эффекта методом подгонки существенным образом использовались предположения о характере фона. Для проверки полученных результатов число событий процесса ОЭП оценивалось также и методом разбиения <sup>/2/</sup>, свободным от таких предложений. В этом методе использовалось то обстоятельство, что события эффекта и события фонового процессов имеют различные распределения по переменным  $M_x^2$  и  $A$ .

Все зарегистрированные события разбивались на четыре группы в зависимости от величины параметров  $M_x^2$  и  $A$ . Для каждой группы событий проводилось, так же как это было описано выше (§ 4), вычитание фона от стенок мишени, и вычислялись оценки числа случаев генерированных на водороде:

- (M)  $m_1$  - число случаев генерированных на водороде с  $M_x^2 \leq M_0^2$  и  $A \leq A_0$  ;  
(M)  $m_2$  - число случаев генерированных на водороде с  $M_x^2 > M_0^2$  и  $A \leq A_0$  ;  
(M)  $m_3$  - число случаев генерированных на водороде с  $M_x^2 \leq M_0^2$  и  $A > A_0$  ;  
(M)  $m_4$  - число случаев генерированных на водороде с  $M_x^2 > M_0^2$  и  $A > A_0$ .

Введем обозначения:

(M)  $N_3$  - число событий процесса ОЭП ;

(M)  $N_\varphi$  - число событий фоновых процессов ;

$\zeta = P_{M_x}^{(3)}(M_0)$  - вероятность для события процесса ОЭП иметь  $M_x^2 \leq M_0^2$  ;

$\gamma = P_{M_x}^{(\varphi)}(M_0)$  - вероятность для события фонового процесса  $M_x^2 \leq M_0^2$  ;

$\delta = P_A^{(\varphi)}(A_0)$  - вероятность для события фонового процесса  $A \leq A_0$  ;

$\beta = P_A^{(3)}(A_0)$ .

Так как форма распределений по  $M_x^2$  практически не зависит от величины ионизационных потерь (Рис. 3), то переменные  $M_x^2$  и  $A$  можно считать статистически независимыми. Тогда

$$\begin{aligned} {}^{(M)}m_1 &= \alpha \beta {}^{(M)}N_\vartheta + \delta \gamma {}^{(M)}N_\varphi \\ {}^{(M)}m_2 &= (1-\alpha) \beta {}^{(M)}N_\vartheta + (1-\delta) \gamma {}^{(M)}N_\varphi \\ {}^{(M)}m_3 &= \alpha (1-\beta) {}^{(M)}N_\vartheta + \delta (1-\gamma) {}^{(M)}N_\varphi \\ {}^{(M)}m_4 &= (1-\alpha) (1-\beta) {}^{(M)}N_\vartheta + (1-\delta) (1-\gamma) {}^{(M)}N_\varphi \end{aligned} \quad /9/$$

$${}^{(M)}N_\vartheta = \frac{{}^{(M)}m_1 {}^{(M)}m_4 - {}^{(M)}m_2 {}^{(M)}m_3}{({}^{(M)}m_4 \alpha \beta - {}^{(M)}m_3 (1-\alpha) \beta - {}^{(M)}m_4 \delta (1-\beta) + {}^{(M)}m_1 (1-\alpha) (1-\beta)}) \quad /10/$$

Величина  $\alpha = P_{M_x}^{(2)}(M_0)$ , используемая в формуле /10/, определяется при моделировании процесса ОЭП (Рис. 2).

Результаты вычисления числа событий процесса ОЭП для некоторых значений параметров  $M_0^2$  и  $A_0$  приведены в таблицах III  
 $({}^{(1)}N_\vartheta)$  и IX  $({}^{(2)}N_\vartheta)$ .

Таблица III.

$M_0 (\text{Гэв}^2/\text{с}^4)$	$A_0/A_{\text{н.в.}}$	1,8	2,0	2,2	2,4
0,920		$621 \pm 75$	$614 \pm 95$	$769 \pm 139$	$946 \pm 277$
0,960		$581 \pm 66$	$580 \pm 76$	$740 \pm 116$	$934 \pm 246$
1,000		$604 \pm 65$	$627 \pm 71$	$760 \pm 110$	$758 \pm 240$
1,040		$618 \pm 67$	$629 \pm 73$	$764 \pm 116$	$245 \pm 264$

Таблица IX.

$\frac{A_0}{M_0} / \frac{\rho_{H.B.}}{(G_B)^2/C_U}$	1,8	2,0	2,2	2,4
0,920	$405 \pm 68$	$419 \pm 67$	$387 \pm 84$	$405 \pm 86$
0,960	$395 \pm 63$	$407 \pm 62$	$383 \pm 70$	$422 \pm 46$
1,000	$405 \pm 65$	$407 \pm 62$	$357 \pm 74$	$423 \pm 48$
1,040	$407 \pm 69$	$393 \pm 73$	$360 \pm 77$	$427 \pm 55$

Видно, что оценки полученные методами подгонки (таблица УІ) и разбиения хорошо согласуются друг с другом, но первый из этих методов обеспечивает большую точность. Поэтому для анализа использовались результаты полученные методом подгонки.

#### 7. Вычисление дифференциальных распределений событий процесса ОЭП.

Вычисление дифференциальных распределений событий процесса ОЭП проводилось в предположении, что все генерированные на водороде фоновые события обусловлены процессом (2). Как было показано выше, это предположение вполне обосновано.

Среди событий удовлетворившим критериям отбора /8/ доля фоновых событий составляет  $\sim 25\%$ . Для того чтобы вычислять дифференциальные распределения по более чистой выборке вводился дополнительный критерий отбора:

$$M_X^2 < 1,0 (\text{ГэВ}/c^2)^2.$$

/II/

Как показало моделирование, этот критерий отбрасывает значительную часть фоновых событий почти не затрагивая эффект. Соответствующие оценки приведены в таблице X.

Таблица X.

Экспозиция	I	II
Доля событий эффекта отбрасываемая критерием отбора $M_X^2 \geq 1,0 (\text{ГэВ}/c^2)^2$	0,055	0,059
Доля событий фона отбрасываемая критерием отбора $M_X^2 \geq 1,0 (\text{ГэВ}/c^2)^2$	0,613	0,597

Однако были получены оценки числа фоновых случаев удовлетворяющих критериям отбора /8/ и /II/:

$${}^{(1)}\hat{N}_\phi = 72 \pm 10 \quad \text{и} \quad {}^{(2)}\hat{N}_\phi = 25 \pm 6,$$

что составляет  $\sim 10\%$  всех отобранных событий.

Экспозиции I и II отличались только эффективностью регистрации фоновых взаимодействий, в то время как условия регистрации событий процесса ОЭП в этих экспозициях практически совпадали. Поэтому, после введения критериев отбора /8/, /II/, отбрасывающих значительную долю фоновых событий, все случаи отобранные по результатам двух экспозиций объединялись в одну суммарную выборку. По суммарной выборке вычислялись дифференциальные распределения событий процесса ОЭП по четырем независимым переменным: /9/  $k^2, \cos\theta^*, \cos\varphi$  и  $\cos\delta$ . Для этого из экспериментальных распределений вычитались как распределения фоновых событий, так и рас-

пределения для событий генерированных на стенках мишени, построенные при тех же критериях отбора /8/, /II/.

Число фоновых взаимодействий в суммарной выборке равно:

$$\hat{N}_\Phi = \hat{N}_\Phi^{(1)} + \hat{N}_\Phi^{(2)} = 97 \pm 12$$

В качестве оценки плотности распределения фоновых событий по какой-либо переменной использовалась функция

$$f(y) = \frac{\hat{N}_\Phi^{(1)} f^{(1)}(y) + \hat{N}_\Phi^{(2)} f^{(2)}(y)}{\hat{N}_\Phi} \quad /12/$$

где  $f^{(1)}(y), f^{(2)}(y)$  - плотности распределения фоновых случаев по переменной  $y$ , вычисленные при моделировании регистрации фонового процесса (2) в условиях, соответствующих условиям регистрации фона в экспозициях I и II. Отсюда можно оценить  $N_\Phi(y_i)$  - число фоновых событий в  $i$ -ом канале экспериментального распределения по переменной

$$N_\Phi(y_i) = \hat{N}_\Phi P_\Phi(y_i) = \hat{N}_\Phi \int_{y_i}^{y_{i+1}} f(y) dy \quad /13/$$

Оценка числа событий генерированных на стенках мишени в  $i$ -ом канале распределения  $N_{tg}(y_i)$  определялась по результатам измерений с пустой мишенью

$$N_{tg}(y_i) = {}^{(1)}\lambda N_{tg}(y_i) + {}^{(2)}\lambda N_{tg}(y_i), \quad /14/$$

где  ${}^{(1)}N_{tg}(y_i), {}^{(2)}N_{tg}(y_i)$  - число событий зарегистрированное в  $i$ -ом канале распределения в соответствующем эксперименте с пустой мишенью после введения всех критериев отбора.

Тогда оценку числа событий процесса ОЭП в  $i$ -ом канале  $n_{\text{обр}}(y_i)$  можно вычислить по формуле:

$$n_{\text{обр}}(y_i) = n_{\text{эксп}}(y_i) - \sigma_\phi(y_i) - n_{tq}(y_i) \quad /I5/$$

Ошибка в величине  $n_{\text{обр}}$  равна:

$$\sigma(n_{\text{обр}}) = \sqrt{n_{\text{эксп}}(y_i) + \sigma_\phi^2(y_i) + (\frac{1}{2})^2 n_{tq}(y_i) + (\frac{1}{2})^2 n_{tq}(y_i)} \quad /I6/$$

В формулах /I5/, /I6/ использованы следующие обозначения:  $n_{\text{эксп}}(y_i)$  – число событий попавших в  $i$ -ый канал экспериментального распределения по переменной  $y$ ,  $\sigma_\phi$  – ошибка в числе фоновых событий в суммарной выборке.

$$\sigma_\phi = 12 \quad /I7/$$

При дальнейшем анализе все события из суммарной выборки разбивались на пять групп в зависимости от значения квадрата переданного четырехимпульса  $k^2$ . Число случаев в каждой группе указано в таблице XI. В этой же таблице приведены оценки числа фоновых взаимодействий и числа событий генерированных на стенках мишени для каждого интервала по  $k^2$ .

Таблица XI.

№ группы	интервал $k^2$ (ГэВ/с) <sup>2</sup>	число слу- чаев в групп-	число фоно- вых событ.	число событий генерированных в стенах мишени
I	0,050+0,065	98	12	16,4
2	0,065+0,080	163	27	4,4
3	0,080+0,095	203	26	13,3
4	0,095+0,110	219	22	40,4
5	0,110+0,130	216	11	-

В качестве оценки числа фоновых событий в  $i$ -ой группе использовалась величина

$$\hat{N}_{\varphi i} = \hat{N}_{\varphi} / f(k^2) dk^2, \quad /18/$$

где:  $k_i^2, k_{i+1}^2$  — границы  $i$ -го интервала по  $k^2$  ;  
 $f(k^2)$  — плотность распределения фоновых событий по (формула /12/).

Для каждой группы, так же как это было описано выше строились распределения событий процесса ОЭП по переменным  $\cos\theta^x, \cos\varphi$ ,  $\cos\theta$ . При этом, функции распределений фоновых случаев по этим переменным (формула /13/) и распределения событий генерированных на стенках мишени (формула /14/) та же вычислялись для каждого интервала по  $k^2$ .

На рис. 6 представлены распределения событий процесса ОЭП по переменным  $\cos\theta^x, \cos\varphi$  и  $\cos\theta$  для пяти интервалов по  $k^2$ . Необходимо отметить, что за счет используемой процедуры вычитания фона имеется незначительная корреляция между оценками числа событий реакции ОЭП в различных каналах распределений. Эта корреляция учитывалась в дальнейшем в процедуре определения форм-факторов <sup>/10/</sup>. В заключении авторы считают своим приятным долгом выразить благодарность Г.И.Смирнову и Д.М.Хазинсу за полезные обсуждения.

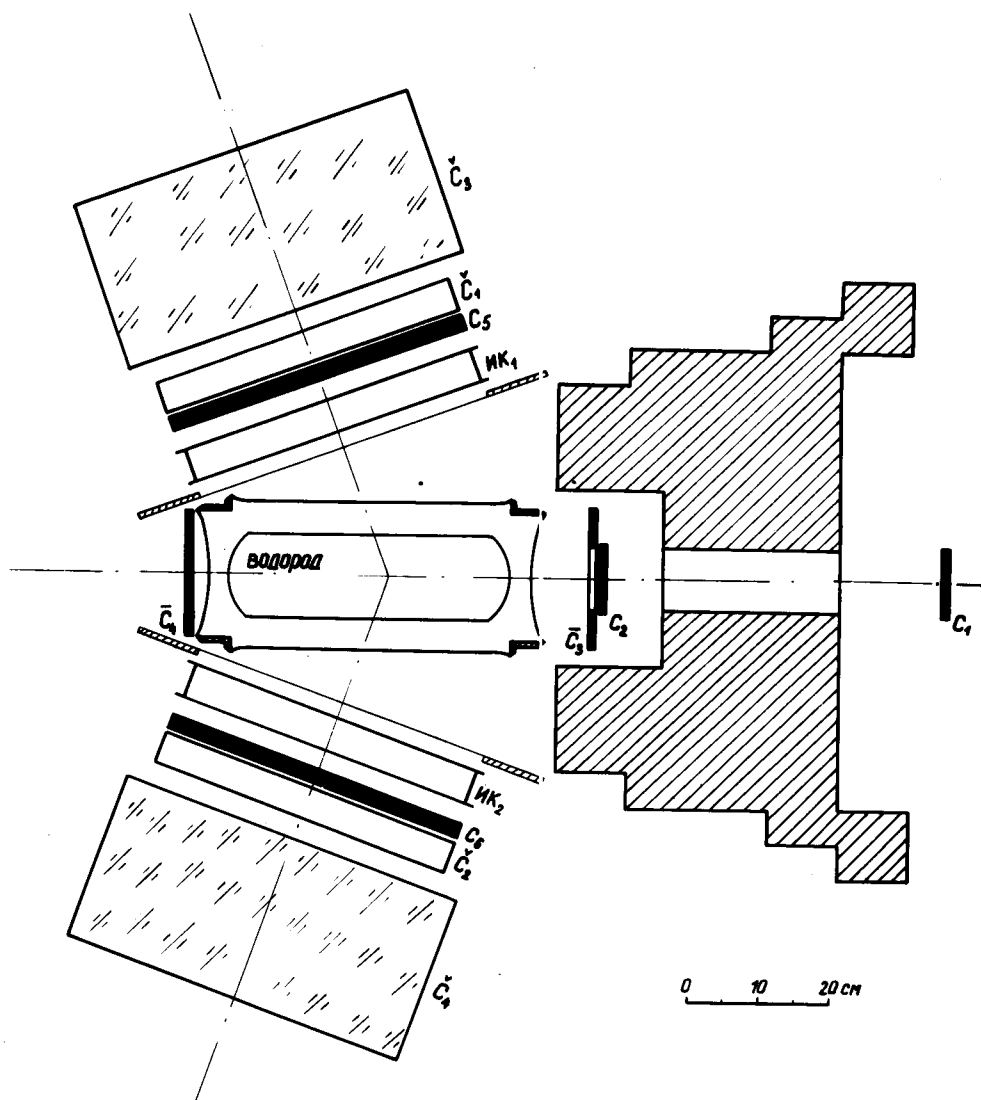


Рис. I. Схема экспериментальной установки

$C_1 + C_6$  - сцинтилляционные счетчики;

$\check{C}_1, \check{C}_2$  - пороговые черенковские счетчики;

$\check{C}_3, \check{C}_4$  - черенковские спектрометры полного поглощения;

$ИК_1, ИК_2$  - оптические искровые камеры

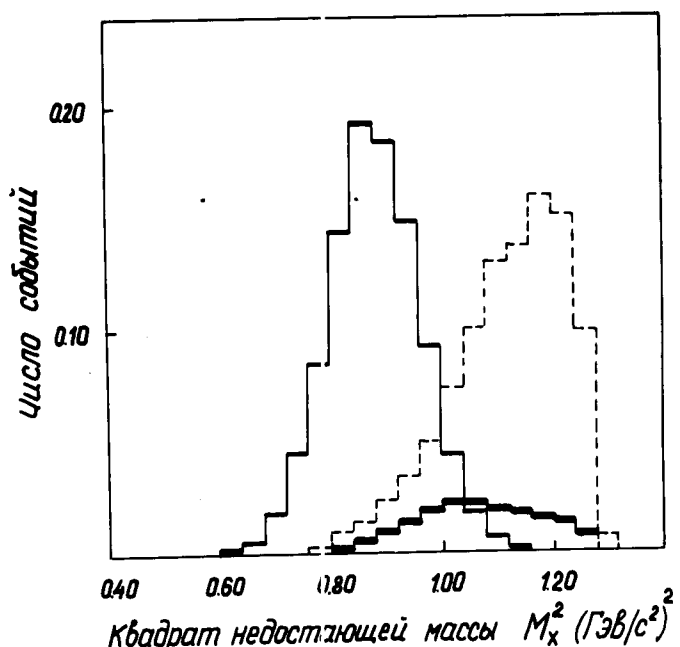


Рис. 2. Распределения событий реакций  
 $\pi^- p \rightarrow e^+ e^- p$  (-),  $\pi^- p \rightarrow \pi^0 \pi^0 p$  (---) и  
 $\pi^- p \rightarrow \pi^0 \eta p$  (—) по квадрату недостающей  
массы.

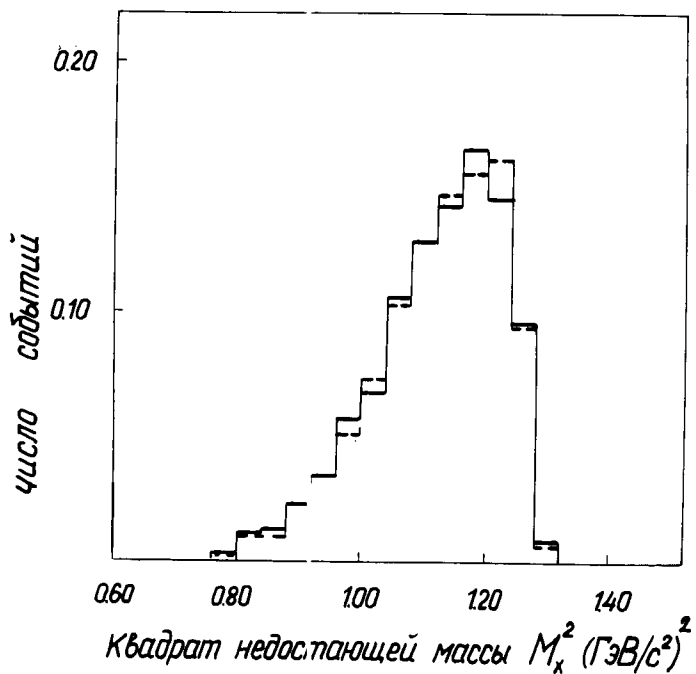


Рис. 3. Распределения событий реакции  $\Pi^- p \rightarrow \Pi^0 \Pi^0$  по квадрату недостающей массы для случаев  
 $(dE/dx)_\gamma = (dE/dx)_e$  — сплошная линия;  
 $(dE/dx)_\gamma = 2(dE/dx)_e$  — пунктирная линия

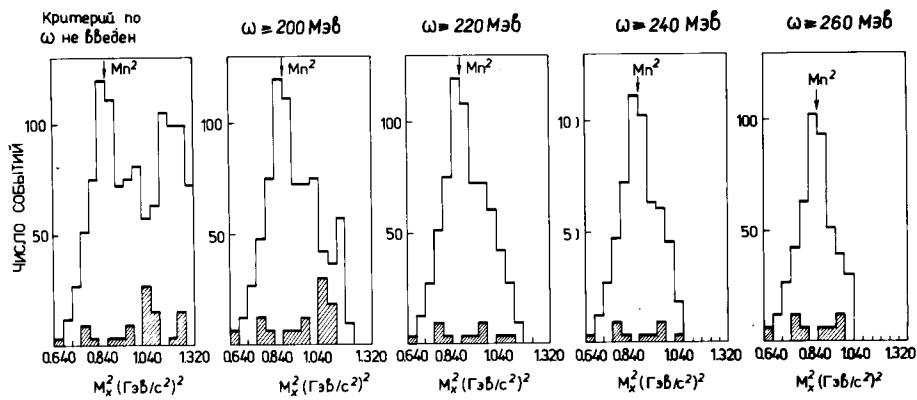


Рис. 4. Распределение событий зарегистрированных в экспозиции I по квадрату недостающей массы.

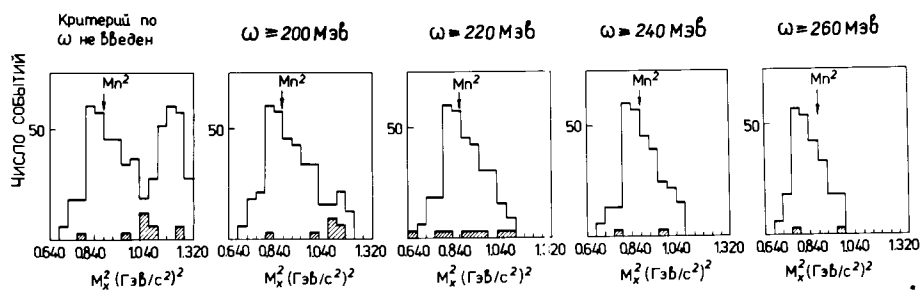


Рис.5. Распределение событий зарегистрированных в экспозиции II по квадрату недостающей массы.

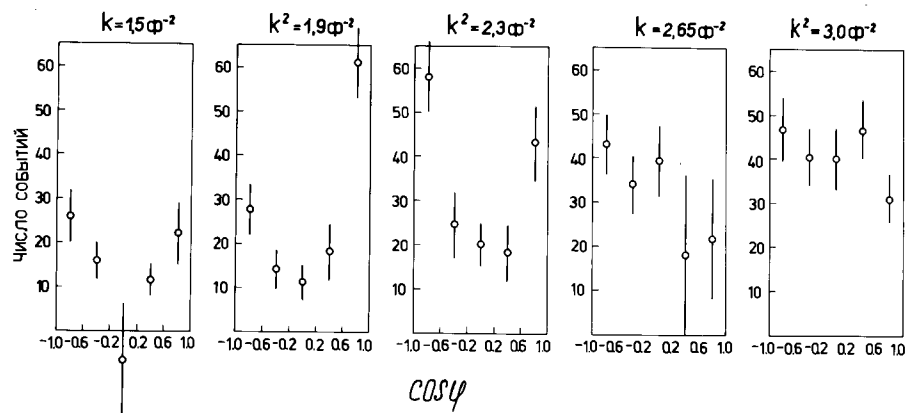
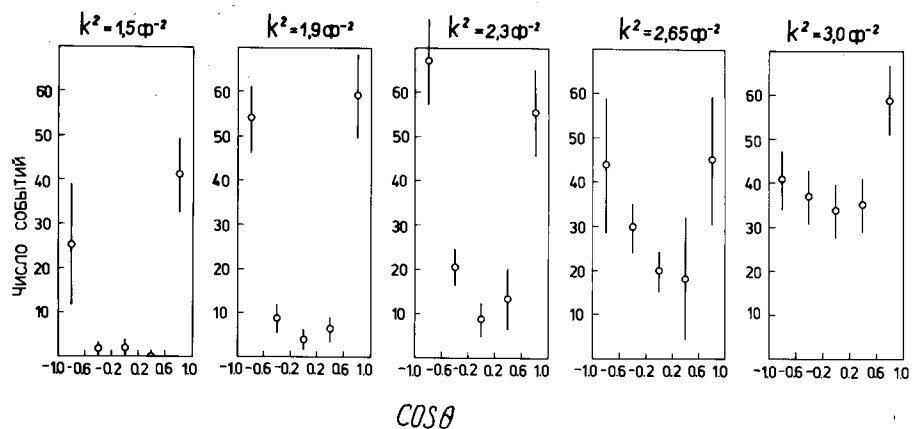
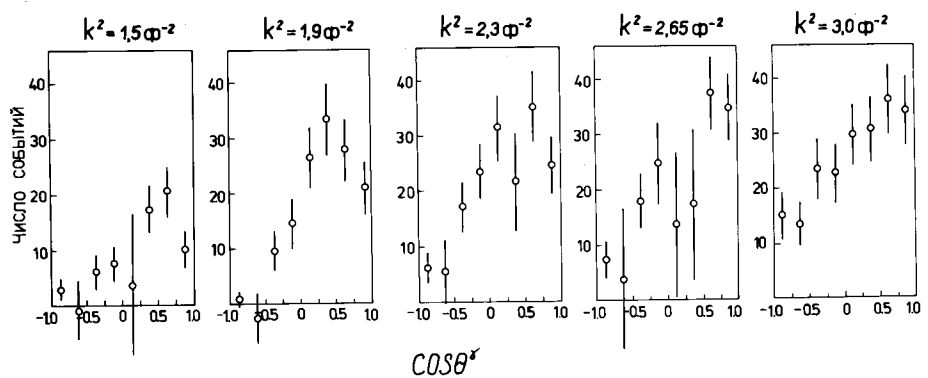


Рис. 6. Распределения событий процесса  $\Pi^- p \rightarrow e^+ e^- \pi$  по кинематическим переменным.

ЛИТЕРАТУРА.

1. Ю.К.Акимов, С.Ф.Бережнев, А.В.Демьянов и др., ЯФ, 13, 748, 1971 .
2. С.Ф.Бережнев, А.В.Демьянов, А.В.Куликов и др. ЯФ, 17, 185, 1973 г.
3. Г.Г.Мкртчян, Автореферат диссертации, ОИЯИ, I-6717, Дубна, 1972 г.
4. А.В.Кравцов и др. ЯФ, 20, 942, 1974 г.
5. L.D.Roper, P.H.Wright, B.T.Feld, Phys. Rev. 138, 190 (1965).
6. Г.И.Смирнов, Библиотека программ на фортране, Депонированная публикация ОИЯИ, Б-Н-7198, 1972 г.
7. С.Ф.Бережнев, Г.И.Смирнов, ОИЯИ, Р10-9845, Дубна, 1975 г.
8. В.В.Ализаде, С.Ф.Бережнев, А.В.Демьянов и др., ОИЯИ, Р1-9470, Дубна, 1976.
9. Ю.С.Суровцев, Ф.Г.Ткебучава, ОИЯИ, Р2-5561, Дубна, 1969.

А.Немцов  
Бережнев